

14,15

## Влияние электрического поля и градиента температуры на формирование гидродинамического течения в тонком нематическом капилляре

© А.В. Захаров<sup>1</sup>, С.В. Пасечник<sup>2</sup>, Г.И. Максимочкин<sup>2</sup>

<sup>1</sup> Институт проблем машиноведения РАН,  
Санкт-Петербург, Россия

<sup>2</sup> Московский технологический университет,  
Москва, Россия

E-mail: alexandre.zakharov@yahoo.ca

(Поступила в Редакцию 14 мая 2018 г.)

Предложено теоретическое описание принципов немеханической транспортировки микролитровых объемов жидкого кристалла (ЖК) инкапсулированного в тонкий капилляр. Численными методами, в рамках нелинейного обобщения классической теории Эриксона-Лесли, были исследованы различные режимы формирования гидродинамического потока в однородно ориентированной ЖК-полости под действием градиента температуры и двойного электростатического слоя, естественно возникающего на границе раздела ЖК-фаза/твердое тело. Найдены размеры ЖК-капилляра и параметры необходимого теплового воздействия позволяющего инициировать течение ЖК-фазы в горизонтальном направлении.

Работа выполнена при финансовой поддержке РФФИ (грант № 16-02-00041а) и Минобрнауки (гранты 3.11888.2018/11.12 и 3.9585.2017/8.9).

DOI: 10.21883/FTT.2018.12.46740.130

### 1. Введение

Методы нано- и микрофлюидики в последнее время находят широкое применение не только при исследовании процессов транспортировки и сортировки нанолитровых капель жидкости и жидких кристаллов (ЖК) в разветвленных каналах и капиллярах (lab-on-chip-system), но и в разнообразных семействах сенсоров и датчиков на основе термо- и лиотропных ЖК-материалов [1,2] используемых в биотехнологических приложениях, медицине и иммерсионной литографии. Еще одной не менее интригующей областью применения микролитровых объемов ЖК-материалов являются биометрические оптические системы, где основным элементом являются ЖК-микролинзы (ЖКЛ) с регулируемым фокусным расстоянием (tunable liquid crystal microlenses) [3,4]. В этих ЖКЛ изменение фокусного расстояния достигается посредством управляющего электрического поля [5,6]. В основу другого способа позволяющего манипулировать фокусным расстоянием в ЖКЛ положен принцип основанный на взаимодействии градиентов температуры и поля директора ЖК-капли [7,8]. Это взаимодействие ведет к деформации свободной границы раздела ЖК-фаза/воздух и, тем самым, способствует изменению фокусного расстояния в ЖКЛ [9]. Поскольку при изготовлении ЖКЛ с изменяющимися фокусными расстояниями используют очень delicate способы производства, то с неизбежностью возникает необходимость всестороннего изучения влияния электрического поля и градиентов температуры на структурные и гидродинамические свойства таких ЖК-систем.

Недавно был предложен новый метод транспортировки микролитровых ЖК-капель инкапсулированных в тонкие (микрометровых размеров) каналы и капилляры за счет взаимодействия градиентов температуры и поля директора ЖК-фазы [10]. Было показано, что необходимым и достаточным условием возникновения направленного горизонтального потока в гибридно-ориентированном ЖК-канале, в котором ориентация поля директора на одной из ограничивающих поверхностей планарная, а на другой — гомеотропная, является взаимодействие градиентов температуры и поля директора. В случае однородно-ориентированной ЖК-фазы, когда ориентация поля директора на ограничивающих поверхностях либо планарная, либо гомеотропная, направленное течение ЖК-фазы под действием градиента температуры отсутствует. В этом случае чтобы инициировать горизонтальное течение ЖК-фазы, необходимо деформировать однородно ориентированную ЖК-среду, с тем чтобы создать градиент поля директора. Этим фактором, который позволит деформировать планарно-ориентированную ЖК-полость, заключенную между двумя коаксиальными цилиндрами, может служить перпендикулярно направленное электрическое поле. Таким полем может являться электростатическое поле двойного электрического слоя, естественно возникающего на границе раздела ЖК-фаза/твердое тело. Поскольку ЖК представляет собой слабый электролит, в котором число ионов практически равно числу катионов, то в пристенном слое на границе раздела ЖК-фаза/твердое тело возникает двойной электрический слой с плотностью заряда  $\sigma$ . Электрическое поле создаваемое этим зарядом

пронизывает ЖК-фазу на расстояние порядка длины дебаевской экранировки  $\lambda_D$  [11] и способно деформировать пристенные слои однородно-ориентированной ЖК-полости. Если к тому же в ЖК-полости удастся создать градиент температуры, например за счет джоулевого разогрева внутреннего цилиндра, при термической изолированности внешнего цилиндра, то создаются все предпосылки для того, чтобы в ЖК-полости сформировался гидродинамический поток направленный параллельно ограничивающим цилиндрам. При этом возникает вопрос: какой должна быть плотность заряда двойного электрического слоя для того, чтобы осуществить деформацию ЖК-фазы и тем самым инициировать горизонтальный поток ЖК-материала.

Исследование этих новых состояний будет проведено в рамках нелинейного обобщения классической теории Эриксона-Лесли [12,13] с учетом балансов массы, импульсов и моментов действующих на единицу объема ЖК-материала. Численными методами будут исследованы различные гидродинамические режимы формирования гидродинамического течения в микроразмерной планарно ориентированной ЖК-полости, заключенной между двумя коаксиальными цилиндрами, под действием радиально направленного градиента температуры и электростатического поля, естественно возникающего на границе раздела ЖК-фаза/твердое тело.

## 2. Основные уравнения

Рассмотрим цилиндрическую полость между двумя горизонтальными, коаксиально расположенными цилиндрами с радиусами  $R_1$  и  $R_2$  ( $R_2 > R_1$ ), заполненную жидким кристаллом. Будем рассматривать два случая сцепления ЖК-молекул с ограничивающими цилиндрами. Первый случай, случай сильного сцепления (S), когда граничные условия могут быть записаны в виде

$$\theta(r)_{r=R_1} = \theta(r)_{r=R_2} = 0, \quad (1)$$

и случай слабого сцепления (W), когда граничные условия могут быть записаны в виде

$$K_1 \left( \frac{\partial \theta(r)}{\partial r} \right)_{r=R_1, R_2} = \frac{A}{2} \sin 2\Delta\theta^\pm, \quad (2)$$

где  $\theta$  — угол между направлением директора  $\hat{\mathbf{n}}$  и ортом  $\hat{\mathbf{e}}_z$ ,  $K_1$  — коэффициент упругости продольного изгиба,  $\mathcal{W} = \frac{1}{2} A \sin^2 \Delta\theta^\pm$  — плотность энергии сцепления ЖК-молекул с ограничивающими цилиндрами,  $\Delta\theta^\pm = \theta_s^\pm - \theta_0^\pm$ ,  $\theta_s^\pm = (\theta_s)_{r=R_1, R_2}$  и  $\theta_0^\pm = (\theta_0)_{r=R_1, R_2}$  — углы соответствующие ориентации директора  $\hat{\mathbf{n}}$  и оси легкого ориентирования  $\hat{\mathbf{u}}$  на ограничивающих цилиндрах соответственно.

Система координат выбрана так, что директор  $\hat{\mathbf{n}}$  лежит в плоскости  $(rz)$  образованной радиальным ортом  $\hat{\mathbf{e}}_r$  и ортом  $\hat{\mathbf{e}}_z$ , направленным вдоль оси коаксиальных цилиндров, в то время как тангенциальный орт равен  $\hat{\mathbf{e}}_\phi = \hat{\mathbf{e}}_z \times \hat{\mathbf{e}}_r$ . Будем предполагать, что внутренняя

поверхность цилиндра ( $r = R_1$ ) разогрета, например, посредством пропускания электрического тока (джоулев разогрев), а внешняя поверхность цилиндра ( $r = R_2$ ) термически изолирована и на ней поддерживается постоянная температура  $T_{\text{out}}$ . Это предполагает, что через внутреннюю поверхность цилиндра в ЖК-фазу поступает поток тепла  $\mathbf{q}_{\text{in}}$  и граничное условие на внутреннем цилиндре принимает вид

$$\lambda_\perp \left( \frac{\partial T}{\partial r} \right)_{r=R_2} = -q_{\text{in}}, \quad (3)$$

в то время как на внешнем цилиндре граничное условие для поля температуры имеет вид

$$T_{r=R_2} = T_{\text{out}}. \quad (4)$$

Здесь  $\lambda_\perp$  — коэффициент теплопроводности в направлении перпендикулярном направлению директора  $\hat{\mathbf{n}}$ .

Принимая во внимание тот факт, что ЖК-фаза обычно содержит практически равное количество ионов и катионов (слабый электролит) и находясь в контакте с твердой ограничивающей поверхностью образует двойной электрический слой с плотностью заряда  $\sigma$ . Электростатическое поле  $\mathbf{E}$  инициируемое плотностью электрического заряда  $\sigma$  проникает в объем ЖК-фазы на глубину порядка дебаевской длины экранировки  $\lambda_D = \sqrt{\frac{\epsilon\epsilon_0 k_B T}{2e^2 n_{\text{eq}}}}$  и может быть рассчитано в рамках теории Пуассона-Больцмана как [11]

$$\mathbf{E}(r) = E_0 \mathcal{E}(r) \hat{\mathbf{e}}_r = E_0 \frac{C_I \mathcal{K}_1\left(\frac{r}{\lambda_D}\right) - C_K \mathcal{I}_1\left(\frac{r}{\lambda_D}\right)}{\Delta} \hat{\mathbf{e}}_r, \quad (5)$$

где  $E_0 = \sigma / (\epsilon_0 \bar{\epsilon})$  — поверхностное электростатическое поле,  $\epsilon_0$  — диэлектрическая проницаемость вакуума,  $\bar{\epsilon} = (\epsilon_\parallel + 2\epsilon_\perp) / 3$  — диэлектрическая проницаемость ЖК-среды,  $\epsilon_\parallel$  и  $\epsilon_\perp$  — диэлектрические постоянные вдоль и поперек направления директора  $\hat{\mathbf{n}}$  соответственно,  $\epsilon = \epsilon_\parallel \cos^2 \theta_s + \epsilon_\perp \sin^2 \theta_s$ ,  $e$  — заряд протона,  $k_B$  — постоянная Больцмана,  $\theta_s$  — значение угла между направлением директора  $\hat{\mathbf{n}}_s$  и ортом  $\hat{\mathbf{e}}_z$  на ограничивающих поверхностях и  $n_{\text{eq}}$  — концентрация ионов в объеме ЖК-фазы. Здесь

$$\Delta = \mathcal{I}_1\left(\frac{R_2}{\lambda_D}\right) \mathcal{K}_1\left(\frac{R_1}{\lambda_D}\right) - \mathcal{I}_1\left(\frac{R_1}{\lambda_D}\right) \mathcal{K}_1\left(\frac{R_2}{\lambda_D}\right),$$

$$C_I = \frac{\mathcal{I}_1\left(\frac{R_1}{\lambda_D}\right) + \mathcal{I}_1\left(\frac{R_2}{\lambda_D}\right)}{\Delta}, \quad C_K = \frac{\mathcal{K}_1\left(\frac{R_1}{\lambda_D}\right) + \mathcal{K}_1\left(\frac{R_2}{\lambda_D}\right)}{\Delta},$$

$\mathcal{I}_1$  и  $\mathcal{K}_1$  — модифицированные функции Бесселя первого порядка и второго рода соответственно.

Поле скорости  $\mathbf{v}$  подчиняется условию прилипания на ограничивающих цилиндрах и может быть записано в виде

$$\mathbf{v}_{r=R_1} = \mathbf{v}_{r=R_2} = 0. \quad (6)$$

Учитывая малую толщину ЖК-полости  $d = R_2 - R_1 \sim 100-200$  nm можно предположить, что плотность  $\rho_m$

ЖК-фазы мало меняется вдоль радиуса  $r$  и условие несжимаемости может быть записано в виде  $\nabla \cdot \mathbf{v} = 0$ . Последнее условие, рассмотренное совместно с условием прилипания (6), приводит к тому, что в рамках нашей модели существует только одна компонента вектора скорости  $\mathbf{v}$ , направленная параллельно ограничивающим цилиндрам, т. е.,  $\mathbf{v}(t, r) = v_z(t, r)\hat{\mathbf{e}}_z \equiv u(t, r)\hat{\mathbf{e}}_z$ .

Таким образом, цель нашей статьи исследовать реакцию однородно ориентированной ЖК-полости, инкапсулированной между двумя горизонтальными, коаксиально расположенными цилиндрами под действием как радиально направленного градиента температуры, так и электростатического поля  $\mathbf{E}(r)$  инициированного двойным электрическим слоем.

Гидродинамические уравнения описывающие процесс переориентации орнородно ориентированной ЖК-полости состоят из уравнения баланса моментов и импульсов действующих на единицу объема ЖК-фазы, и уравнения баланса энтропии. Баланс моментов образован упругим  $\mathbf{T}_{\text{elast}} = (\delta W_F / \delta \hat{\mathbf{n}}) \times \hat{\mathbf{n}}$ , вязким  $\mathbf{T}_{\text{vis}} = (\delta \mathcal{R}_{\text{vis}} / \delta \hat{\mathbf{n}}) \times \hat{\mathbf{n}}$ , термомеханическим  $\mathbf{T}_{\text{tm}} = (\delta \mathcal{R}_{\text{tm}} / \delta \hat{\mathbf{n}}) \hat{\mathbf{n}}$  и электрическим  $\mathbf{T}_{\text{el}} = -\epsilon_0 \epsilon_a \mathbf{E} \times \hat{\mathbf{n}}(\mathbf{E} \cdot \hat{\mathbf{n}})$  вкладками соответственно. Здесь  $\dot{\hat{\mathbf{n}}} = \frac{d\hat{\mathbf{n}}}{dt} = \frac{\partial \hat{\mathbf{n}}}{\partial t} \equiv \hat{\mathbf{n}}_t$  — материальная производная директора  $\hat{\mathbf{n}}$ ,  $W_F = \frac{1}{2} [K_1(\nabla \cdot \hat{\mathbf{n}})^2 + K_3(\hat{\mathbf{n}} \times \nabla \times \hat{\mathbf{n}})^2] = \frac{1}{2} [K_1(\cos \theta_{,r} + \frac{\sin \theta}{r}) + K_3 \sin^2 \theta_{,r}]$  представляет собой плотность упругой энергии,  $K_1$  и  $K_3$  — упругие коэффициенты продольного и поперечного изгибов,  $\mathcal{R} = \mathcal{R}_{\text{vis}} + \mathcal{R}_{\text{tm}} + \mathcal{R}_{\text{th}}$  — полная диссипационная функция Релея, где  $\mathcal{R}_{\text{vis}} = \frac{1}{2} [\bar{h}(\theta)u_{,r}^2 + 2\bar{\mathcal{A}}(\theta)\theta_{,t}u_{,r} + \gamma_1\theta_{,r}^2]$  — вязкий,  $\mathcal{R}_{\text{tm}} = \xi T_{,r} [\theta_{,t}(\frac{1}{2} + \cos^2 \theta) + \frac{3 \sin 2\theta}{4r}] - u_{,r} \sin \theta \cos \theta \times (\theta_{,r}(1 + \frac{1}{4} \sin \theta) + \frac{3}{2r})$  — термомеханический и  $\mathcal{R}_{\text{th}} = \frac{1}{2T} (\chi_{\parallel}(\hat{\mathbf{n}} \cdot \nabla T)^2 + \lambda_{\perp}(\nabla T - \hat{\mathbf{n}}(\hat{\mathbf{n}} \cdot \nabla T))^2) = \frac{1}{2T} (\lambda_{\parallel} \sin^2 \theta + \lambda_{\perp} \cos^2 \theta) T_{,r}^2$  — термический вклады в диссипационную функцию соответственно. Функции  $\bar{h}(\theta) = \frac{1}{2}(2\alpha_4 + \gamma_1 + \alpha_5 + \alpha_6) + \alpha_1 \sin^2 \theta \cos^2 \theta + \frac{1}{2} \gamma_2 \cos 2\theta$  и  $\bar{\mathcal{A}}(\theta) = -\frac{1}{2}(\gamma_1 + \gamma_2 \cos 2\theta)$  являются гидродинамическими функциями,  $u_{,r} = \partial u(t, r) / \partial r$ ,  $\theta_{,t} = \partial \theta(t, r) / \partial t$ ,  $\xi \sim 10^{-12}$  [J/mK] — термомеханическая постоянная [14],  $\alpha_1(T) - \alpha_6(T)$  — шесть коэффициентов вязкости Лесли,  $\gamma_1(T)$  и  $\gamma_2(T)$  — коэффициенты вращательной вязкости (КВВ), а  $\lambda_{\parallel}$  — коэффициент теплопроводности вдоль направления директора  $\hat{\mathbf{n}}$ .

Безразмерное уравнение баланса моментов действующих на единицу объема ЖК-фазы имеет вид [15]

$$\begin{aligned} \gamma_1(\chi)\theta_{,\tau} &= \mathcal{A}(\theta)u_{,r} + \delta_1 \left[ (\mathcal{G}(\theta)\theta_{,r})_{,r} - \frac{1}{2} \mathcal{G}_{\theta}(\theta)\theta_{,r}^2 \right. \\ &+ \left. \frac{g(\theta)\theta_{,r}}{r} - \frac{1}{2} \left( \frac{K_1(\chi)}{K_{10}r} \right)_{,r} \sin 2\theta \right] \\ &- \delta_2 \chi_{,r} \left[ \theta_{,r} \left( \frac{1}{2} + \cos^2 \theta \right) + \frac{3}{4r} \sin 2\theta \right] + \frac{1}{2} \mathcal{G}^2(r) \sin 2\theta, \end{aligned} \quad (7)$$

где  $\gamma_1(\chi) = \gamma_1(\chi) / \gamma_{10}$ ,  $\gamma_{10}$  и  $K_{10}$  — наибольшие значения КВВ  $\gamma_1(\chi)$  и упругого коэффициента  $K_1(\chi)$  в температурном интервале  $[\chi_{\text{out}}, \chi_{\text{in}}]$ , соответствующем стабильной нематической фазе,  $\chi(\tau, r) = T(\tau, r) / T_{NI}$  — безразмерная температура,  $\tau = \left( \frac{\epsilon_0 \epsilon_a E_0^2}{\gamma_{10}} \right) t$  — безразмерное время,  $\bar{r} = r / (R_2 - R_1)$  — безразмерный полярный радиус,  $\mathcal{A}(\theta) = \bar{\mathcal{A}} / \gamma_{10}$  и  $\mathcal{G}(\theta) = \frac{1}{K_{10}} (K_1(\chi) \cos^2 \theta + K_3(\chi) \sin^2 \theta)$  — безразмерные гидродинамическая и упругая функции,  $\delta_1 = \left( \frac{E_{\text{th}}}{\pi E_0} \right)^2$  и  $\delta_2 = \delta_1 \xi \frac{T_{NI}}{K_{10}}$  — параметры ЖК-системы, а  $E_{\text{th}} = \frac{\pi}{s} \sqrt{\frac{K_{10}}{\epsilon_0 \epsilon_a}}$  — критическое значение электрического поля  $E(r)$ . В уравнении (7) и в последующем изложении черта над переменной  $r$  была (и будет) опущена.

Безразмерное уравнение баланса импульсов действующих на единицу объема ЖК-фазы имеет вид [15]

$$\delta_3 u_{,\tau}(\tau, r) = \nabla_r \sigma_{rz,r}, \quad (8)$$

$$\mathcal{P}_{,r}(\tau, r) + \frac{\delta \mathcal{R}}{\delta \theta_{,r}} \theta_{,r} = 0, \quad (9)$$

где  $\sigma_{rz} = \frac{\delta \mathcal{R}}{\delta u_{,r}} = h(\theta)u_{,r} - \mathcal{A}(\theta)\theta_{,r} - \frac{1}{2} \delta_2 \chi_{,r} \sin 2\theta [\theta_{,r}(1 + \frac{1}{4} \sin \theta) + \frac{3}{2r}]$  — сдвиговая компонента тензора напряжения (ТН),  $h(\theta) = \bar{h}(\theta) / \gamma_{10}$  — безразмерное гидростатическое давление в ЖК-системе, а  $\delta_3 = \rho \frac{K_{10}}{\gamma_{10}^2} \left( \frac{\pi E_0}{E_{\text{th}}} \right)^2$  — еще один параметр системы. В случае малых градиентов температуры  $\nabla \chi$  по сечению ЖК-полости безразмерное уравнение баланса энтропии может быть записано в виде [15]

$$\begin{aligned} \delta_4 \chi_{,\tau}(\tau, r) &= [\chi_{,r}(\lambda \sin^2 \theta + \cos^2 \theta)]_{,r} \\ &+ \delta_5 \chi \theta_{,\tau} \left[ \left( \frac{1}{2} + \cos^2 \theta \right) + \frac{3 \sin 2\theta}{4r} \right] \\ &- \delta_5 \frac{1}{2} \left[ u_{,r} \sin 2\theta \left( \theta_{,r} \left( 1 + \frac{1}{4} \sin \theta \right) + \frac{3}{2r} \right) \right]_{,r}, \end{aligned} \quad (10)$$

где  $\delta_4 = \rho \frac{C_p d^2 \epsilon_0 \epsilon_a E_0^2}{\gamma_{10} \lambda_{\perp}}$  и  $\delta_5 = \xi \frac{\epsilon_0 \epsilon_a E_0^2}{\gamma_{10} \lambda_{\perp}}$  — два дополнительных параметра ЖК-системы,  $\lambda = \lambda_{\parallel} / \lambda_{\perp}$  и  $C_p$  — коэффициент теплоемкости ЖК-фазы. Таким образом, множество параметров ЖК-системы входящих в уравнения (7)–(10) имеют вид:

$$\delta_1 = \left( \frac{E_{\text{th}}}{\pi E_0} \right)^2, \quad \delta_2 = \delta_1 \xi \frac{T_{NI}}{K_{10}}, \quad \delta_3 = \rho \frac{K_{10}}{\gamma_{10}^2} \left( \frac{\pi E_0}{E_{\text{th}}} \right)^2,$$

$$\delta_4 = \rho \frac{C_p d^2 \epsilon_0 \epsilon_a E_0^2}{\gamma_{10} \lambda_{\perp}}, \quad \delta_5 = \xi \frac{\epsilon_0 \epsilon_a E_0^2}{\gamma_{10} \lambda_{\perp}}.$$

Теперь граничные условия для поля директора  $\hat{\mathbf{n}}$  в безразмерном виде могут быть записаны как

$$\theta(r)_{r=a} = \theta(t)_{r=a+1} = 0, \quad (11)$$

(случай (S) сильного сцепления ЖК-молекул с ограничивающими цилиндрами) и

$$\left(\frac{\partial\theta(r)}{\partial r}\right)_{r=a} = \mathcal{D} \frac{K_1(\chi_{out})}{K_1(\chi_{in})}, \quad \left(\frac{\partial\theta(r)}{\partial r}\right)_{r=a+1} = \mathcal{D}, \quad (12)$$

(случай (W) слабого сцепления ЖК-молекул с ограничивающими цилиндрами), где  $\mathcal{D} = \frac{Ad}{K_1(\chi_{out})\Delta\theta^\pm}$  — безразмерный параметр соответствующий случаю (W).

В свою очередь, граничные условия для поля скорости и температуры можно переписать в виде

$$u(r)_{r=a} = u(r)_{r=a+1} = 0, \quad (13)$$

$$\left(\frac{\partial\chi(\tau, r)}{\partial r}\right)_{r=a} = -Q, \quad \chi_{r=a+1} = \chi_{out}. \quad (14)$$

Здесь  $Q = \frac{qd}{T_{NY}\lambda_\perp}$  — безразмерный поток тепла с внутреннего ограничивающего цилиндра в ЖК-полость,  $d = R_2 - R_1$ ,  $a = R_1/d$  и  $a + 1$  соответствуют безразмерным значениям внутреннего и внешнего радиусов ограничивающих цилиндров.

Для 4-*n*-пентил-4'-цианобифенила (5ЦБ), при температуре  $T_{out} = 298$  К и плотности  $10^3$  kg/m<sup>3</sup>, величины параметров, входящих в уравнения (7)–(10), имеют следующие значения:  $\delta_1 \sim 2.5 \cdot 10^{-3}$ ,  $\delta_2 \sim 0.07$ ,  $\delta_3 \sim 0.9 \cdot 10^{-3}$ ,  $\delta_4 \sim 0.47$  и  $\delta_5 \sim 1.15 \cdot 10^{-6}$  соответственно. Поскольку значение плотности заряда было выбрано равным  $\sigma = 4 \cdot 10^{-3}$  C/m<sup>2</sup>, то поверхностная плотность заряда равная  $\sigma = n_{surf}e$  была оценена как  $n_{surf} \sim 2 \cdot 10^{16}$  m<sup>-2</sup>, что близко к экспериментально полученным данным  $n_{surf} \sim 10^{15} - 10^{16}$  m<sup>-2</sup> [11]. Величина дебаевской длины экранировки  $\lambda_D = \sqrt{\frac{\epsilon\epsilon_0 k_B T}{2e^2 n_{eq}}}$  зависит исключительно от свойств ЖК-фазы, и в нашем случае равна  $\lambda_D \sim 50$  nm. Далее, принимая во внимание тот факт, что  $\delta_3 \ll 1$ , уравнение (8) может быть редуцировано к виду

$$\sigma_{rz} = h(\theta)u_{,r} - \mathcal{A}(\theta)\theta_{,\tau} - \delta_2\chi_{,r} \sin\theta \cos\theta \times \left[ \theta_{,r} \left( 1 + \frac{1}{4} \sin\theta \right) + \frac{3}{2r} \right] = \frac{C(\tau)}{r}, \quad (15)$$

где  $C(\tau)$  — функция не зависящая от  $r$  и определяется граничным условием (13). В свою очередь, уравнение (10) может быть также упрощено, поскольку  $\delta_5 \ll 1$ . После упрощения оно принимает вид

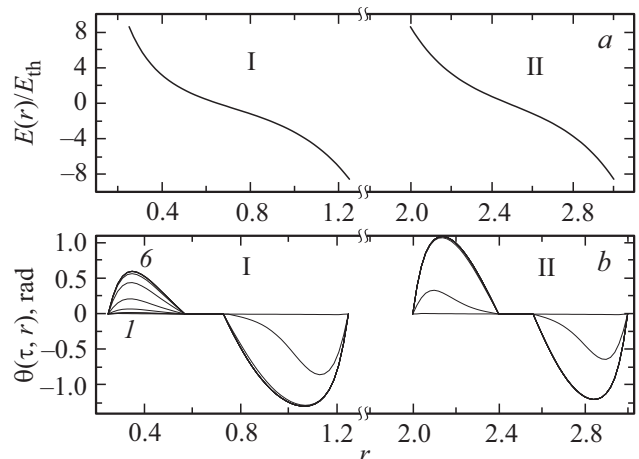
$$\delta_4\chi_{,\tau}(\tau, r) = [\chi_{,r}(\lambda \sin^2\theta + \cos^2\theta)]_{,r}. \quad (16)$$

Таким образом, переориентация поля директора и формирование горизонтального потока в ЖК-полости инкапсулированной между двумя коаксиальными цилиндрами может быть описана уравнениями (7), (15) и (16), совместно с граничными условиями описанными уравнениями (11)–(14) и начальным условием  $\theta(\tau = 0, r) = 0.001$  ( $a < r < a + 1$ ).

### 3. Решение гидродинамических уравнений и основные результаты

Процесс переориентации поля директора  $\hat{n}(\tau, r)$ , описываемый углом  $\theta(\tau, r)$ , перераспределение поля температуры  $\chi(\tau, r)$  и формирование горизонтального потока  $u(\tau, r)$  в ЖК-полости между двумя коаксиальными цилиндрами под действием градиента температуры и под влиянием электростатического поля, возникающего за счет двойного электрического слоя на границе раздела ЖК-фаза/твердое тело, описывается системой нелинейных дифференциальных уравнений в частных производных (7), (15) и (16) совместно с граничными условиями (11)–(14) и начальными условиями для угла  $\theta(\tau = 0) = 0.001$  ( $a < r < a + 1$ ) и скорости  $u(\tau = 0) = 0$  соответственно. В расчетах были выбраны следующие величины: толщина ЖК-полости  $d = 0.2$  μm, безразмерный тепловой поток  $Q = 0.04$  ( $\sim 12$  μW/μm<sup>2</sup>), плотность поверхностного заряда  $\sigma = 4 \cdot 10^{-3}$  C/m<sup>2</sup>. Вычисления были проведены для двух значений радиуса внутреннего цилиндра:  $a = 0.25$  (вариант I (более искривленная геометрия)) и  $a = 2.0$  (вариант II (менее искривленная геометрия)) соответственно, а безразмерный параметр соответствующий случаю слабого сцепления ЖК-молекул с ограничивающими цилиндрами был выбран равным  $\mathcal{D} = 0.1$ .

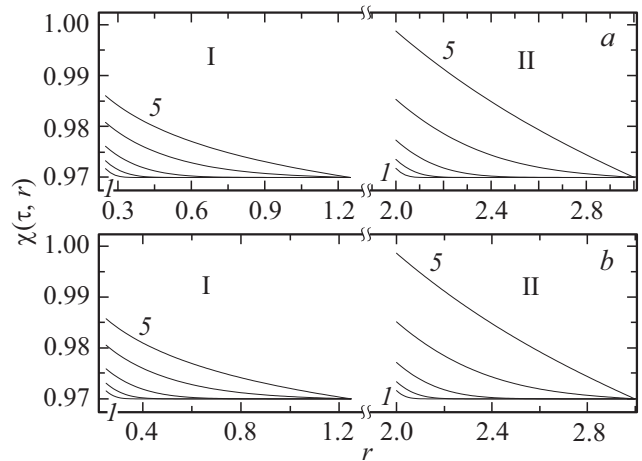
На рис. 1, *a* представлено распределение электростатического поля  $E(r)/E_{th}$  по сечению ЖК-полости, обусловленное поверхностной плотностью заряда  $\sigma = 4 \cdot 10^{-3}$  C/m<sup>2</sup> на обеих ограничивающих поверхностях и рассчитанное с помощью уравнения (4) для значений  $a = 0.25$  (вариант I (более искривленная геометрия))



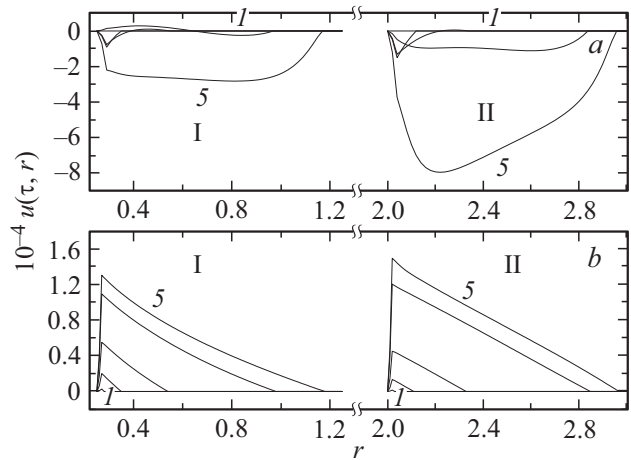
**Рис. 1.** *a* — распределение безразмерного электростатического поля  $E(r)/E_{th}$  по сечению ЖК-полости, обусловленное поверхностной плотностью заряда  $\sigma = 4 \cdot 10^{-3}$  C/m<sup>2</sup> для случая двух геометрий, соответствующих вариантам I и II. *b* — эволюция угла  $\theta(\tau, r)$  к его равновесному распределению  $\theta_{eq}(r)$  вдоль радиуса  $r$  для случая слабого сцепления ЖК-молекул с цилиндрами ( $\mathcal{D} = 0.1$ ) и двух геометрий I и II соответственно. Распределение  $\theta_{eq}(r)$  достигается спустя  $\tau_6 = 0.5$  ( $\sim 0.3$  μs) единиц безразмерного времени.

рия)) и 2.0 (вариант II (менее искривленная геометрия)) соответственно, в то время как на рис. 1, *b* представлены результаты расчета эволюции угла  $\theta(\tau, r)$  к его равновесному распределению  $\theta_{eq}(r)$  вдоль радиуса  $r$ , полученные методом релаксации [16], для случая слабого сцепления ЖК-молекул с цилиндрами ( $\mathcal{D} = 0.1$ ), которое достигается спустя  $\tau_6 0.5$  ( $\sim 0.3 \mu s$ ) единиц безразмерного времени. Здесь время отсчитывается с момента начала разогрева внутреннего цилиндра. Условием сходимости итерационной процедуры была выбрана величина  $\epsilon = |(\theta_{(m+1)}(\tau, r) - \theta_{(m)}(\tau, r)) / \theta_{(m)}(\tau, r)| \sim 10^{-4}$ , и итерационная процедура продолжалась вплоть до достижения заданной точности  $\epsilon \sim 10^{-4}$ . Здесь  $m$  — число итераций. Кривые 1–6 на рис. 1, *b* соответствуют временам  $\tau_1 = 0.016$  (кривая 1),  $\tau_2 = 0.03$  (кривая 2),  $\tau_3 = 0.06$  (кривая 3),  $\tau_4 = 0.13$  (кривая 4),  $\tau_5 = 0.25$  (кривая 5) и  $\tau_6 = 0.5$  (кривая 6) соответственно. Результаты расчетов показывают, что при фиксированном зазоре  $d = 0.2 \mu m$  между двумя коаксиально расположенными цилиндрами влияние электростатического поля ограничивается приповерхностными областями  $0.25 \leq r \leq 0.56$  и  $0.73 \leq r \leq 1.25$  (вариант I (более искривленная геометрия)) и  $2.0 \leq r \leq 2.4$  и  $2.56 \leq r \leq 3.0$  (вариант II (менее искривленная геометрия)) соответственно.

Таким образом, внутренняя часть ЖК-полости остается недеформированной, т.е. планарно-ориентированной. Эволюция как безразмерного поля температуры  $\chi(\tau, r)$ , так и поля скорости  $u(\tau, r)$  по сечению ЖК-полости в процессе нагревания внутреннего цилиндра, когда в объем ЖК-фазы был направлен поток тепла  $Q = 0.04$  ( $\sim 12 \mu W / \mu m^2$ ) с поверхности внутреннего цилиндра, в то время как на поверхности внешнего цилиндра поддерживалась постоянная температура  $\chi_{r=a+1} = \chi_{out} = 0.97$ , представлена на рис. 2 и 3 соответственно. Кривые 1–5, на рис. 2 и 3 соответствуют временам  $\tau_1 = 0.0008$  (кривая 1),  $\tau_2 = 0.004$  (кривая 2),  $\tau_3 = 0.02$  (кривая 3),  $\tau_4 = 0.1$  (кривая 4) и  $\tau_5 = 0.5$  (кривая 5) соответственно. Прежде всего следует отметить, что в течении первых трех интервалов безразмерного времени  $\tau \in [\tau_1, \tau_3]$  прогревались только области прилегающие к внутреннему цилиндру  $0.25 \leq r \leq 0.7$  (в случае I) и  $2.0 \leq r \leq 2.5$  (в случае II) соответственно. Так, в случае I и двух способов сцепления ЖК-молекул с ограничивающими цилиндрами, сильного (S) и слабого (W) ( $\mathcal{D} = 0.1$ ), температура  $\chi$  на границе раздела ЖК-фаза/твердое тело, за время  $\tau = \tau_5 = 0.5$  ( $\sim 0.3 \mu s$ ), поднялась в случае (S) — с 0.97 ( $\sim 298$  K) до 0.986 ( $\sim 303$  K), а в случае (W) — с 0.97 ( $\sim 298$  K) до 0.985 ( $\sim 302.6$  K) соответственно. В свою очередь, в случае II и при тех же граничных условиях, температура разогрева внутреннего цилиндра была несколько выше, а именно она возросла с 0.97 ( $\sim 298$  K) до 0.998 ( $\sim 306.6$  K). Такой характер прогревания ЖК-полости в течении первых  $\tau = 0.5$  ( $\sim 0.3 \mu s$ ) единиц времени создает предпосылки для формирования горизонтального потока ЖК-материала сначала исключительно вблизи внутреннего цилиндра (см. рис. 3), как в случае I, так и в случае II, с



**Рис. 2.** Эволюция безразмерного поля температуры  $\chi(\tau, r)$  по сечению ЖК-полости в процессе нагревания внутреннего цилиндра, когда в объем ЖК-фазы был направлен поток тепла  $Q = 0.04$  ( $\sim 12 \mu W / \mu m^2$ ) с поверхности внутреннего цилиндра, в то время как на поверхности внешнего цилиндра поддерживалась постоянная температура  $\chi_{r=a+1} = -\chi_{out} = 0.97$ . Кривые 1–5 соответствуют временам  $\tau_1 = 0.0008$  (кривая 1),  $\tau_2 = 0.004$  (кривая 2),  $\tau_3 = 0.02$  (кривая 3),  $\tau_4 = 0.1$  (кривая 4) и  $\tau_5 = 0.5$  (кривая 5) соответственно. Случаи (a) и (b) соответствуют сильному (S) и слабому (W) сцеплению ЖК-молекул с ограничивающими цилиндрами соответственно.



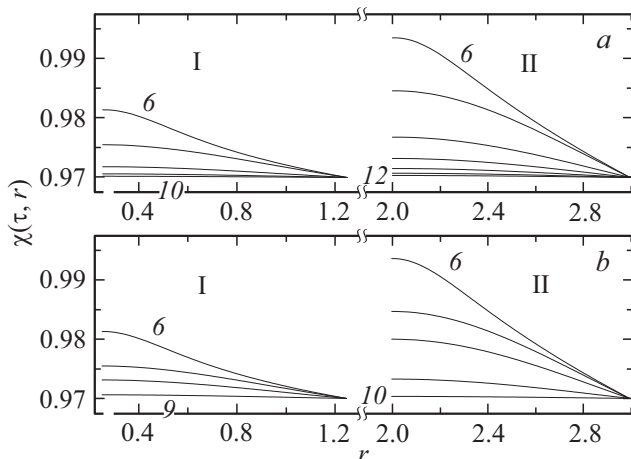
**Рис. 3.** То же, что на рис. 2, но представлена эволюция распределения скорости  $u(\tau, r)$  по сечению ЖК-полости в процессе ее прогревания.

последующим вовлечением в поток все большего объема ЖК-полости. Такое формирование гидродинамического потока продиктовано тем, что градиент температуры в течении первых  $\tau = 0.5$  ( $\sim 0.3 \mu s$ ) единиц времени сформировался исключительно вблизи внутреннего цилиндра. Основываясь на результатах вычислений можно сделать заключение, что кривизна цилиндров играет существенную роль в формировании величины скорости гидродинамического потока только в случае сильного сцепления ЖК-молекул с ограничивающими цилиндрами (см. рис. 3, *a*).

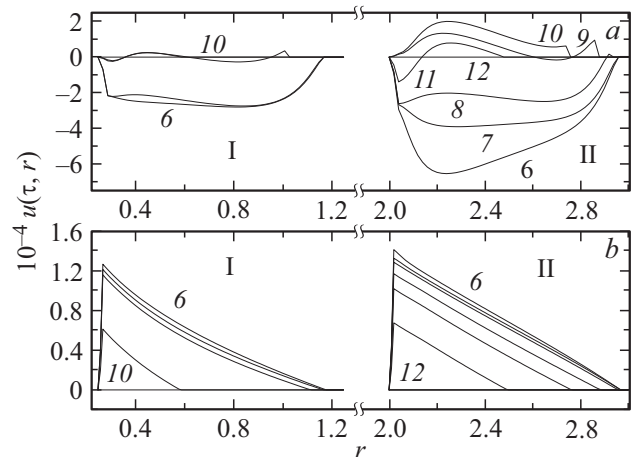
Другой фактор, который сильно влияет на характер гидродинамического потока, это способ сцепления ЖК-молекул с цилиндрами. Так, в случае I и (S) наибольшая величина скорости потока направленного в отрицательном направлении равна  $u_{\max}(I, S) \sim 3 \cdot 10^{-4}$  ( $\sim 120 \mu\text{m/s}$ ), в то время как в случае II и (S),  $u_{\max}(II, S) \sim 8 \cdot 10^{-4}$  ( $\sim 320 \mu\text{m/s}$ ), т.е. практически в 2.6 раза больше (см. рис. 3, a). Картина гидродинамического течения координатно меняется с изменением характера сцепления ЖК-молекул с ограничивающими цилиндрами. Так, в случае I и (W) наибольшая величина скорости потока направленного в положительном направлении равна  $u_{\max}(I, W) \sim 1.3 \cdot 10^{-4}$  ( $\sim 62 \mu\text{m/s}$ ), в то время как в случае II и (W)  $u_{\max}(II, W) \sim 1.6 \cdot 10^{-4}$  ( $\sim 76 \mu\text{m/s}$ ) (см. рис. 3, b).

После прекращения разогрева внутреннего цилиндра ( $\tau > 0.5$  ( $\sim 0.3 \mu\text{s}$ )) начался процесс охлаждения ЖК-материала и равномерное распределение поля температуры по сечению ЖК-полости, соответствующее  $\chi_{\text{out}} = 0.97$ , установилось спустя время  $\tau_9 - \tau_{12}$  (см. рис. 4, a и b). Так, в случае (I) и (S) время необходимое для выравнивания поля температуры по сечению ЖК-полости равно  $\tau_R(I, S) = \tau_{10} = 1.2$  ( $\sim 0.72 \mu\text{s}$ ), в то время как в случае (II) и (S)  $\tau_R(II, S) = \tau_{12} = 1.6$  ( $\sim 0.96 \mu\text{s}$ ). В случае слабого сцепления ЖК-молекул с ограничивающими цилиндрами (W) время необходимое для выравнивания поля температуры по сечению ЖК-полости равно  $\tau_R(I, W) = \tau_9 = 1.0$  ( $\sim 0.60 \mu\text{s}$ ), в то время как в случае (II) и (W)  $\tau_R(II, W) = \tau_{10} = 1.2$  ( $\sim 0.72 \mu\text{s}$ ) соответственно. Здесь время отсчитывается по прежнему с момента начала разогрева внутреннего цилиндра.

Таким образом, результаты расчетов свидетельствуют о том, что на скорость остывания ЖК-полости характер сцепления ЖК-молекул с ограничивающими



**Рис. 4.** То же, что на рис. 2, но представлена эволюция безразмерного поля температуры  $\chi(\tau, r)$  по сечению ЖК-полости в процессе ее охлаждения для следующих моментов времени:  $\tau_6 = 0.51$  (кривая 6),  $\tau_7 = 0.6$  (кривая 7),  $\tau_8 = 0.8$  (кривая 8),  $\tau_9 = 1.0$  (кривая 9),  $\tau_{10} = 1.2$  (кривая 10),  $\tau_{11} = 1.4$  (кривая 11) и  $\tau_{12} = 1.6$  (кривая 12) соответственно.



**Рис. 5.** Эволюция распределения скорости  $u(\tau, r)$  по сечению ЖК-полости в процессе ее охлаждения. Времена те же, что на рис. 4.

цилиндрами практически не влияет. Эволюция поля скорости  $u(\tau, r)$  по сечению ЖК-полости в процессе охлаждения ЖК-материала, для обоих вариантов сцепления ЖК-молекул с ограничивающими цилиндрами, представлена на рис. 5, a и b. Так, для случая (I) и (S) движение ЖК-материала прекратилось спустя время  $\tau_R(I, S) = \tau_{10} = 1.2$  ( $\sim 0.72 \mu\text{s}$ ), в то время как в случае (II) и (S) —  $\tau_R(II, S) = \tau_{12} = 1.6$  ( $\sim 0.96 \mu\text{s}$ ) соответственно (см. рис. 5, a). В случае слабого сцепления ЖК-молекул с ограничивающими цилиндрами (W) движение ЖК-материала прекратилось спустя время  $\tau_R(I, W) = \tau_{10} = 1.2$  ( $\sim 0.72 \mu\text{s}$ ), в то время как в случае (II) и (W) —  $\tau_R(II, W) = \tau_{12} = 1.6$  ( $\sim 0.96 \mu\text{s}$ ) соответственно (см. рис. 5, b).

Таким образом, основываясь на результатах вычислений можно предположить, что геометрия капилляра в случае сильного сцепления ЖК-молекул с ограничивающими цилиндрами сильно влияет на формирование поля скорости в однородно ориентированной ЖК-полости. В то же время, в случае слабого взаимодействия ЖК-молекул с ограничивающими цилиндрами геометрия капилляра практически не влияет на характер и величину гидродинамического потока формирующегося в ЖК-полости под действием градиента температуры и электростатического поля инициируемого двойным электрическим слоем.

Следует также отметить, что дальнейшее увеличение теплового потока, например в 10 раз, с  $Q = 0.04$  ( $\sim 12 \mu\text{W}/\mu\text{m}^2$ ) до  $Q = 0.4$  ( $\sim 120 \mu\text{W}/\mu\text{m}^2$ ), приведет к резкому разогреву внутреннего цилиндра и, как следствие, скорость гидродинамического потока резко возрастет только вблизи нагретого внутреннего цилиндра, в то время как остальной объем ЖК-полости останется неподвижным. Таким образом, необходимо соблюдать баланс теплового потока с тем, чтобы все время находиться в температурном интервале существования ЖК-фазы.



#### 4. Заключение

В предлагаемой работе представлено исследование переориентации поля директора  $\hat{n}(\tau, r)$ , описываемое углом  $\theta(\tau, r)$ , перераспределение поля температуры  $\chi(\tau, r)$  и формирование горизонтального потока  $u(\tau, r)$  в ЖК-полости между двумя коаксиальными цилиндрами под действием градиента температуры и под влиянием электростатического поля возникающего за счет двойного электрического слоя на границе раздела ЖК-фаза/твердое тело. Численные расчеты выполненные в рамках нелинейного обобщения классической теории Эриксе-на-Лесли показали, что при определенных соотношениях моментов и импульсов действующих на единицу объема однородно ориентированной ЖК-полости в последней формируется горизонтально направленный поток. Было показано, что на начальной стадии прогревания ЖК-полости скорость ЖК-фазы возрастает только вблизи нагретого внутреннего цилиндра, в то время как остальной объем ЖК-полости остается неподвижным. Дальнейший процесс прогревания ЖК-полости ведет к тому, что в движение приходит и остальная часть ЖК-полости. Результаты расчетов показали, что на величину и направление гидродинамического потока влияют геометрия капилляра и характер сцепления ЖК-молекул с ограничивающими цилиндрами. Для выбранной толщины ЖК-полости капилляра ( $\sim 0.2 \mu\text{m}$ ) умеренное количество тепла ( $\sim 12 \mu\text{W}/\mu\text{m}^2$ ), направленное изнутри в ЖК-полость, в сочетании с оценками длительности потоков и геометрии капилляров способно осуществить транспортировку ЖК-материала на расстояние  $\sim 1 \mu\text{m}$ .

Исследованные в работе особенности, связанные с реакцией ЖК-материала инкапсулированного в тонкие и сверхтонкие капилляры на локализованное воздействие градиента температуры и статического электрического поля, необходимо учитывать при создании сенсоров и датчиков используемых в биотехнологических приложениях, медицине и биометрических оптических системах.

#### Список литературы

- [1] R.B. Shock J.Y. Han, P. Remind. Rev. Mod. Rhys. **80**, 839 (2008).
- [2] W. Sparreboom, A. van den Berg, J.C.T. Eijkel. New. J. Phys. **12**, 0115004 (2010).
- [3] P. Popov, L.W. Hanaker, M. Mirheydari, E.K. Mann, A. Jakli. Sci. Rep. **7**, 1603 (2017).
- [4] J. Beeckmann, I. Nys, O. Willekens, K. Neyts. J. Appl. Phys. **121**, 023106 (2017).
- [5] K. Asatryan, V. Presnyakov, A. Tork, A. Zohrabyan, A. Bagramyan, T. Galstian. Opt. Express **18**, 13981 (2010).
- [6] H.C. Lin, Y.H. Lin. Opt. Express **20**, 2045 (2012).
- [7] A.V. Zakharov, A.A. Vakulenko. Phys. Fluids **27**, 062001 (2015).
- [8] A.V. Zakharov, P.V. Maslennikov. Phys. Rev. E **96**, 052705 (2017).
- [9] A.Yu. Malyuk, N.A. Ivanova. Appl. Phys. Lett. **112**, 103701 (2018).
- [10] A.V. Zakharov, A.A. Vakulenko. J. Chem. Phys. **127**, 084907 (2007).
- [11] J.N. Israellachvili. Intermolecular and Surface Forces. Academic Press, London (1992). 450 p.
- [12] J.L. Ericksen. Arch. Ration. Mech. Anal. **4**, 231 (1960).
- [13] F.M. Leslie. Arch. Ration. Mech. Anal. **28**, 265 (1968).
- [14] R.S. Akopyan, R.B. Alaverdian, E.A. Santrosian, Y.S. Chilingarian. J. Appl. Phys. **90**, 3371 (2001).
- [15] A.V. Zakharov, A.A. Vakulenko. Phys. Rev. E **80**, 031708 (2009).
- [16] И.С. Березин, Н.Р. Жидков. Методы вычислений. Физматгиз, М. (1964). 464 с.

*Редактор Т.Н. Василевская*